

文章编号: 1007- 2985(2006) 01- 0107- 03

# Bi<sub>2</sub>Ti<sub>2</sub>O<sub>7</sub> 薄膜的制备及在栅场效应管中的应用

杨朝霞

(吉首大学化学化工学院, 湖南 吉首 416000)

**摘要:** 采用化学溶液沉积法, 用价格低廉的原料成功地制备了 Bi<sub>2</sub>Ti<sub>2</sub>O<sub>7</sub> 介质膜。制膜过程简单, 成本低廉, 得到的薄膜具有良好的绝缘性和较高的介电常数。用其制备的绝缘栅场效应管与相同尺寸的 SiO<sub>2</sub> 绝缘栅场效应管相比, 前者具有较高的跨导和较低的开启电压。

**关键词:** Bi<sub>2</sub>Ti<sub>2</sub>O<sub>7</sub> 薄膜; 介电常数; 绝缘栅场效应管

中图分类号: O646.54

文献标识码: B

钛酸铋系列具有不同的组分和结构, 如 Bi<sub>4</sub>Ti<sub>3</sub>O<sub>12</sub>, Bi<sub>2</sub>Ti<sub>2</sub>O<sub>7</sub>, Bi<sub>20</sub>Ti<sub>2</sub>O<sub>20</sub> 等。其中 Bi<sub>2</sub>Ti<sub>2</sub>O<sub>7</sub> 晶体的晶格参数为  $a = b = c = 2.068 \text{ nm}$ , 属于立方晶系<sup>[1]</sup>, 因而 Bi<sub>2</sub>Ti<sub>2</sub>O<sub>7</sub> 薄膜没有压电和铁电性; 但 Bi<sub>2</sub>Ti<sub>2</sub>O<sub>7</sub> 具有较高的介电常数<sup>[2]</sup>, 适合在动态随机存取存储器(DRAM) 中作存储媒体, 使记忆单元面积减少, 从而实现超大规模集成。此外, Bi<sub>2</sub>Ti<sub>2</sub>O<sub>7</sub> 还能用作绝缘栅场效应管的栅极材料以提高绝缘栅场效应管的跨导, 降低开启电压, 提高耐击穿特性, 减少器件尺寸, 降低成本等。为此, 很多文献都报道了如 SrTiO<sub>3</sub><sup>[3-4]</sup>, Ba<sub>x</sub>Sr<sub>1-x</sub>TiO<sub>3</sub><sup>[5-8]</sup> 等薄膜, 但有关 Bi<sub>2</sub>Ti<sub>2</sub>O<sub>7</sub> 薄膜的报道却很少。笔者用化学溶液沉积法制备了 Bi<sub>2</sub>Ti<sub>2</sub>O<sub>7</sub> 薄膜, 并将该膜用于绝缘栅场效应管的研制。

## 1 实验部分

### 1.1 Bi<sub>2</sub>Ti<sub>2</sub>O<sub>7</sub> 薄膜的制备

称取一定量的硝酸铋(Bi(NO<sub>3</sub>)<sub>3</sub>·5H<sub>2</sub>O)溶解于冰醋酸中, 并适当加热以加速其溶解。待溶液冷却至室温后, 加入少量的乙酰丙酮并逐滴加入一定量的钛酸四丁酯, 使金属元素 Bi 和 Ti 的物质的量比为 1:1, 同时不断搅拌, 再加入乙二醇甲醚以调节溶液的浓度和粘度, 随后用过滤器滤除溶液中的杂质和悬浮物, 从而得到 Bi<sub>2</sub>Ti<sub>2</sub>O<sub>7</sub> 前驱体溶液。然后, 用匀胶机进行旋转镀膜, 使 Bi<sub>2</sub>Ti<sub>2</sub>O<sub>7</sub> 前驱体溶液涂布在 n-Si(100) 衬底上, 再将得到的湿膜以 8 min 的速度升温到 350 , 并在此温度下加热分解 25 min 使其分解为无机非晶膜(薄膜只含 Ti, Bi, O 元素)。最后, 高温退火使无机非晶膜发生相变, 从而得到晶态的 Bi<sub>2</sub>Ti<sub>2</sub>O<sub>7</sub> 薄膜。为了得到较厚的薄膜, 采用多层镀膜方式。图 1 为制膜的工艺流程。

### 1.2 Bi<sub>2</sub>Ti<sub>2</sub>O<sub>7</sub> 绝缘栅场效应管的研制

实验证明, Bi<sub>2</sub>Ti<sub>2</sub>O<sub>7</sub> 薄膜具有良好的绝缘性和相对较高的介电常数, 因此将该膜用于研制绝缘栅场效应管。器件的断面结构如图 2 所示。整个器件的制作过程较复杂, 制作工序主要包括氧化、Bi<sub>2</sub>Ti<sub>2</sub>O<sub>7</sub> 薄膜的

收稿日期: 2005-03-11

作者简介: 杨朝霞(1973-), 女(苗族), 湖南省花垣县人, 吉首大学化学化工学院高级实验师, 主要从事分析化学研究。

生长和四次光刻在内的 16 道工序。图 3 为  $\text{Bi}_2\text{Ti}_2\text{O}_7$  绝缘栅场效应管的制作工艺流程。

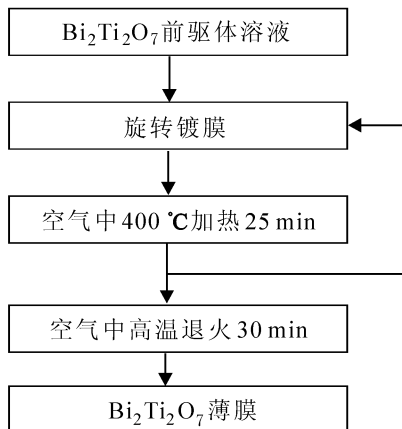


图 1  $\text{Bi}_2\text{Ti}_2\text{O}_7$  薄膜的制备工艺流程

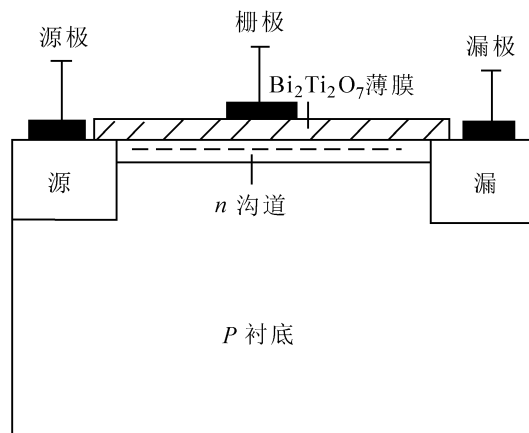


图 2  $\text{Bi}_2\text{Ti}_2\text{O}_7$  绝缘栅场效应管的剖面结构示意图

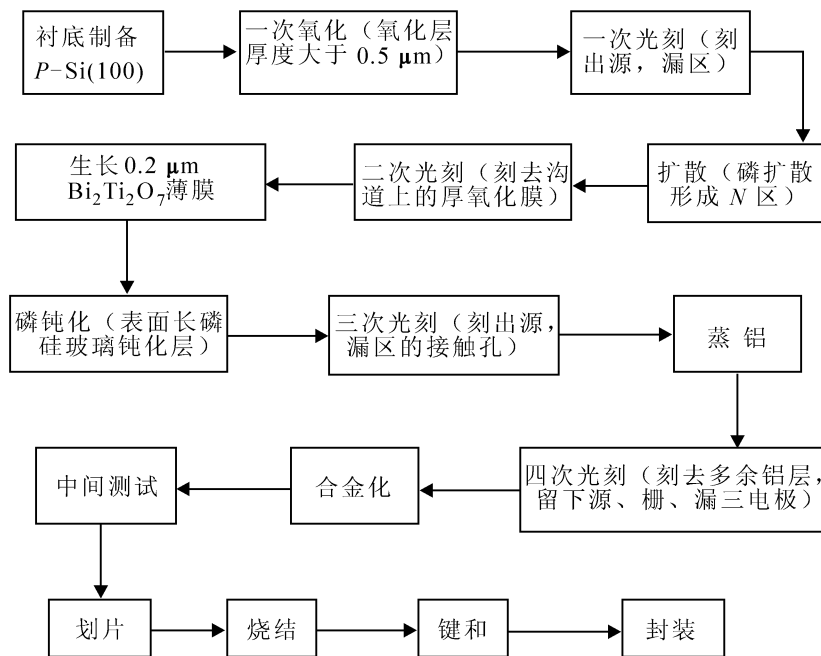


图 3  $\text{Bi}_2\text{Ti}_2\text{O}_7$  绝缘栅场效应管的制作工艺流程

## 2 结果与讨论

### 2.1 薄膜的结晶性和电学性质分析

图 4 是沉积在  $n - \text{Si}(100)$  衬底上的  $\text{Bi}_2\text{Ti}_2\text{O}_7$  薄膜的 X 射线衍射图。薄膜的退火温度为 500 , 退火时间为 30 min。从图 4 可看出, 薄膜具有很强的(222) 和(444) 衍射峰, 表明在该条件下退火得到的  $\text{Bi}_2\text{Ti}_2\text{O}_7$  薄膜具有很强的(111) 取向, 为取向膜, 薄膜的衍射峰都很强, 峰尖锐, 半峰宽小, 这说明该法制备的  $\text{Bi}_2\text{Ti}_2\text{O}_7$  薄膜具有良好的结晶性。

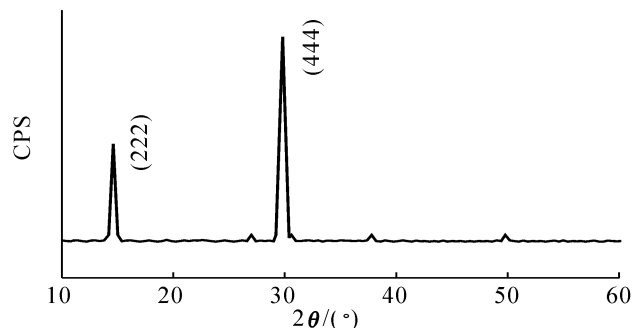


图 4  $\text{Bi}_2\text{Ti}_2\text{O}_7$  薄膜的 X 射线衍射图

## 2.2 器件的测试

对制备的  $\text{Bi}_2\text{Ti}_2\text{O}_7$  绝缘栅场效应管的跨导和开启电压进行测试, 测试仪器为 HP4145B(美国 HP 公司产品), 测试条件为  $V_{DS} = 0.5 \text{ V}$ , 并与具有相同尺寸的  $\text{SiO}_2$  绝缘栅场效应管进行比较, 表 1 为测试结果.

表 1  $\text{Bi}_2\text{Ti}_2\text{O}_7$  绝缘栅场效应管与  $\text{SiO}_2$  绝缘栅场效应管的跨导和开启电压比较

场效应管种类	测试结果	
	跨导 m	开启电压 V
$\text{SiO}_2$ 绝缘栅场效应管	1. 1	2. 6
$\text{Bi}_2\text{Ti}_2\text{O}_7$ 绝缘栅场效应管	2. 2	1. 8

从测试结果看, 制作的  $\text{Bi}_2\text{Ti}_2\text{O}_7$  绝缘栅场效应管的跨导明显比  $\text{SiO}_2$  绝缘栅场效应管的大, 而其开启电压比  $\text{SiO}_2$  绝缘栅场效应管的低. 它的这 2 项性能都远优于  $\text{SiO}_2$  绝缘栅场效应管.

## 参考文献:

- [1] SHIMADA S, KODAIRA K, MATSUSHITA T. Crystal Growth of Bismuth Titanates and Titanium Oxide from Melts in the System  $\text{Bi}_2\text{O}_3\text{-V}_2\text{O}_5\text{-TiO}_2$  [J]. J. Crystal Growth, 1977, 41: 317– 320.
- [2] FUL W, WANG H, SHANG S X, et al. Preparation and Characterization of  $\text{Bi}_2\text{Ti}_2\text{O}_7$  Thin Films Grown by Metalorganic Chemical Vapor Deposition [J]. J. Crystal Growth, 1994, 139: 319– 321.
- [3] JOSHI P C, KRUPANIDHI S B. Structural and Electrical Characteristics of  $\text{SrTiO}_3$  Thin Films for Dynamic Random Access Memory Applications [J]. J. Appl. Phys., 1993, 73: 7 627– 7 634.
- [4] KAMALASANAN M N, DEEPAK N, SUBHAS CHANDRA. Structural, Optical, and Dielectric Properties of Sol-Gel Derived  $\text{SrTiO}_3$  Thin Films [J]. J. Appl. Phys., 1993, 74: 679– 686.
- [5] HORIKAWA T, MIKAMI N, MAKITA T, et al. Dielectric Properties of  $(\text{Ba}, \text{Sr})\text{TiO}_3$  Thin Films Deposited by RF Sputtering [J]. Jpn. J. Appl. Phys., 1993, 32: 4 126– 4 130.
- [6] ROY D, KRUPANIDHI S B. Liquid Crystal Millimeter Wave Electronic Phase Shifter [J]. Appl. Phys. Lett., 1993, 62: 1 056– 1 067.
- [7] IVANOV D, CARON M, OUELLET L, et al. Structural and Dielectric Properties of Spin-on Barium Strontium Titanate Thin Films [J]. J. Appl. Phys., 1995, 77: 2 666– 2 671.
- [8] DANIELLE M TAHAN, AHMAD SAFARI, LISA C KLEIN. Preparation and Characterization of  $\text{Ba}_{x}\text{Sr}_{1-x}\text{TiO}_3$  Thin Films by a Sol-Gel Technique [J]. J. Am. Ceram. Soc., 1996, 79: 1 593– 1 598.

## Preparation of $\text{Bi}_2\text{Ti}_2\text{O}_7$ Thin Film and Its Application in Insulation Gate Field Effect Transistor

YANG Zhao-xia

(College of Chemistry and Chemical Engineering, Jishou University, Jishou 416000, Hunan China)

**Abstract:** The  $\text{Bi}_2\text{Ti}_2\text{O}_7$  thin film was successfully prepared by chemical solution deposition technique on  $n\text{-Si}$  (100) using bismuth nitrate and titanium butoxide as the starting materials. The film presents very good insulating property and has relatively high dielectric constant. Compared with the  $\text{SiO}_2$  insulation gate field effect transistor of the same size, it can greatly increase the transconductance and lower the cut-in voltage.

**Key words:**  $\text{Bi}_2\text{Ti}_2\text{O}_7$  thin film; dielectric constant; insulation gate field effect transistor

(责任编辑 易必武)